

## 討13 ガス吹き込み精錬における流動と反応速度

名古屋大学工学部

○佐野正道 森一美

### 1. 緒言

最近の10年間において、鋼浴の模様や精錬反応速度に大きな影響を及ぼすことが明らかにされ、各種精錬プロセスにおいてガス吹き込み模様が実施されるようになってきた。本報では、ガス吹き込み模様に伴う液体流動およびスラグ-メタル間反応速度に対するガス吹き込み模様の影響について検討する。

### 2. 吹き込みガスの有効慣性動力

吹き込みガス(モル流量 $\dot{n}$ )の有効慣性動力を次式で表わされる。<sup>1)</sup>

$$\dot{E} = \dot{n}RT_L [\ln(P_1/P_2) + \eta \left\{ (T_0/T_L) \ln(P_0/P_1) + (1 - T_0/T_L) + \frac{1}{2} P_{G0} U_{G0}^2 (T_0/(P_0 T_L)) \right\}] \quad (1)$$

ここで、Rは気体定数、Tは温度、Pは圧力、ηは定数、ρは密度、Uは速度、添字0は羽口( $P_0$ は羽口における静圧)、2は雰囲気、Lは液体、Gはガス、0は羽口( $P_0$ は羽口におけるガス圧)である。

(1)式中のηは吹き込みガスの慣性動力のうち液体流動に有効に使われる割合( $\eta < 1$ )である。Lehrer,<sup>2)</sup>成田ら,<sup>3)</sup>桜田ら<sup>4)</sup>によると、浴の混合(均一混合時間)に対するガスの運動エネルギーの寄与は小さい( $\eta = 0.06$ , 0.15<sup>4)</sup>)。また、ガスの圧力減少( $P_0 \rightarrow P_1$ )および温度上昇( $T_0 \rightarrow T_L$ )に伴う膨張が羽口近傍で起こるが、そちらの慣性動力に対するηの値は小さいと考えられ、今後実験的検討が必要である。

### 3. ガス吹き込みによる液体流動

3.1 次元解析 液体中へのガス吹き込みにより、Fig.1に示すような気液混相の上昇流域が形成される。吹き込まれたガスが持つ慣性力によって生じる流動はジェット(jet)，またガスに働く浮力によって生じる流動はプルーム(plume)と呼ばれている。ジェットあるいはプルームは上昇とともに周囲の液体を巻き込むため、その質量流量mはノズルからの距離rとともに増加する。

ジェット中の質量流量m<sub>j</sub>について次元解析を行うと、

$$m_j = k_j M_j^{1/2} p_L^{1/2} h \quad (2)$$

ここで、 $k_j$ は定数、 $M_j$ はジェットの慣性力(過剰運動量流束= $\pi r^2 p_j u_j^2$ )、 $r$ :ジェット半径、 $p_j$ :ジェットの密度、 $u_j$ :ジェットの速度)、 $p_L$ は液密度である。浮力の影響が無視できる場合、 $M_j = M_0 (= \pi r_0^2 p_{G0} U_{G0}^2, r_0: ノズル半径)$ 一定であるから、mは $h/r$ 比例して増加する。単位ジェット長さあたりの質量流量の変化は、

$$dm/dh = k_j M_0^{1/2} p_L^{1/2} \quad (3)$$

これまでに、等温の気体-気体ジェットについて $k_j$ の値として0.22~0.404が実験的に得られている<sup>5)</sup>。

一方、プルーム中の質量流量mについて次元解析を行うと、

$$m_p = k_p (\dot{V}_G p_L g)^{1/2} p_L^{3/2} h^{5/3} \quad (4)$$

ここで、 $k_p$ は定数、 $\dot{V}_G$ はガス流量、gは重力加速度である。また、

$$dm/dh = (5/3) k_p (\dot{V}_G p_L g)^{1/2} p_L^{3/2} h^{2/3} \quad (5)$$

プルームに関する研究は非常に少なく、これまでに $k_p = 0.15, 0.20$ が実験的に得られているのみである。<sup>6)</sup>

一般に、液体中へのガス吹き込みの場合、気液の密度差が大きいため、ノズル直傍を除いてプルームが形成されると考えられる。溶融金属へのガス吹き込みにおいては、溶融金属の密度が大きいため、さうにガスの慣性力の流動に対する寄与は小さくなる。

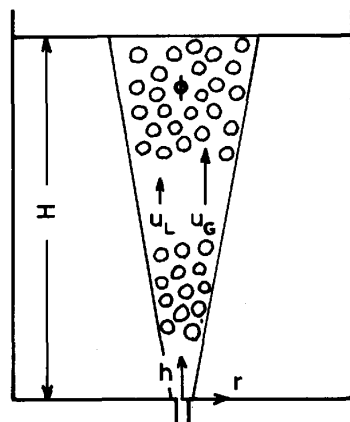


Fig.1 Plume model

3.2 ガス吹き込みによる液体流動に対する巨視的収支をとる。なお、プローブ横断面のガス速度 $U_G$ 、液速度 $V_L$ およびガスホールドアップ中は均一とする。

ガス、液体に対する巨視的な物質収支はつきのよう表明される。

$$\pi r^2 \phi \rho_0 U_G = \rho_0 V_G \quad (6), \quad \frac{dm}{dh} = \frac{d}{dh} \{ \pi r^2 (1-\phi) \rho_L U_L \} = \frac{5}{3} k_p (\dot{V}_G \rho_0 g)^{1/2} \rho_L^{2/3} h^{2/3} + k_p M_0^{1/2} \rho_L^{1/2} \quad (7)$$

なお、ガスの慣性力およびガスに働く浮力による液の巻き込み速度には加成性があると仮定した。

プローブに対する運動量収支は、

$$\frac{d}{dh} \{ \pi r^2 (1-\phi) \rho_L U_L^2 \} = \pi r^2 \phi \rho_0 g + V_L \frac{dm}{dh} \quad (8)$$

ここで、 $V_L$ は巻き込みによる周囲の液体の速度である。

プローブに対する機械的エネルギー収支は、

$$\frac{d}{dh} \{ \pi r^2 (1-\phi) \rho_L U_L \cdot \frac{1}{2} U_L^2 \} = \dot{V}_G \rho_0 g \frac{U_L}{U_G} + \frac{1}{2} V_L \frac{dm}{dh} - E_V \quad (9)$$

ここで、 $E_V$ は周囲の液体の巻き込みによるエネルギー損失で、 $U_L = U_L$ のときには $E_V = 0$ 、 $V_L = 0$ のときには $E_V = \frac{U_L^2}{2} \frac{dm}{dh}$ である。また、右辺第1項中の $\dot{V}_G/U_G$ は吹き込みガスの攪拌効率のうち液体流動に有効に使われる割合を表す。

プローブ中の $U_G$ 、 $U_L$ と $\phi$ の間に次のような関係がある。

$$U_G - U_L = U_G / \phi - U_L / (1-\phi) = U_{BO} / (1-\phi) \quad (10)$$

ここで、 $U_G$ 、 $U_L$ はプローブ断面積基準のガス及び液体の空塔速度、 $U_{BO}$ は单一気泡の上昇速度である。

(6)、(7)、(8) (又は(9)) および(10)式を連立させることにより、 $r$ 、 $\phi$ 、 $U_G$ 、 $U_L$ について解くことができる。Fig.2には、プローブ中の液体上昇流量 $\dot{V}_L$ とガス流量 $\dot{V}_{GN}$ の関係を示した。計算においては、 $r_0 = 0.01\text{m}$ 、 $V_L = 0$ 、浴深 $H = 1\text{m}$ 、 $k_p = 0.282$ <sup>5)</sup>、および $k_p = 0.15, 0.20, 0.30$ とした。なお、 $k_p = 0.3$ はK鉱中へのガス吹き込みにおける求められた値である。<sup>7)</sup>  $\dot{V}_L$ と $\dot{V}_{GN}$ の関係は内対数プロットによりほぼ直線で表される。その勾配は $\sim 0.35$  ( $\dot{V}_{GN} < 0.1\text{Nm}^3/\text{min}$ )、 $\sim 0.40$  ( $0.1 < \dot{V}_{GN} < 1\text{Nm}^3/\text{min}$ )で、前報<sup>8)</sup>で得た勾配0.339より若干大きい。これは、前報においてプローブ半径はガス流量によって変化せず、一定と仮定しているのに對し、実験ではガス流量とともに若干ではあるがプローブ半径が大きくなることによる。なお、 $\dot{V}_{GN} = 1\text{Nm}^3/\text{min}$ の場合について、1ズル半径 $r_0$ を $0.005\text{~}0.05\text{ m}$ の範囲で変化させて計算したが、 $\dot{V}_L$ の変化は約3%程度であった。これより、前述の浴の混合に対するガスの運動エネルギーの寄与が小さいことが説明される。液体中へのガス吹き込みの場合、実験データが少ないので、現時までには $k_p$ の値を確定することはできないが、大略 $0.15\text{~}0.3$ 程度であると考えられる。

#### 4. スラグ-メタル間反応速度に対するガス吹き込み攪拌の影響

Robertson & Staples<sup>9)</sup>は、従来のガス吹き込み攪拌を行ったスラグ-メタル間反応のモデル実験(アマルガム-水溶液系、鉛-液融塩系)の結果をまとめている。実験条件をTable 1に示す。

Table 1 Experimental Conditions of model studies on slag metal reaction

Investigator	System	Vessel Diameter $d_c$	Depth of metal phase H	Gas flow rate $V_G$	Remarks
Subramanian et. al <sup>10)</sup>	Amalgam-Aqueous solution	7, 14, 22.9 cm	66, 60 cm	36 ~ 605 cm <sup>3</sup> /min	Bubble frequency = 12, 24 min <sup>-1</sup>
Staples <sup>9)</sup>	Amalgam-Aqueous solution	7, 14 cm	2.5, 5.7 cm	100 ~ 400 cm <sup>3</sup> /min	Nozzle diameter = 1 mm
	lead-molten salt	7 cm	~ 2.5 cm	100 ~ 400 cm <sup>3</sup> /min	

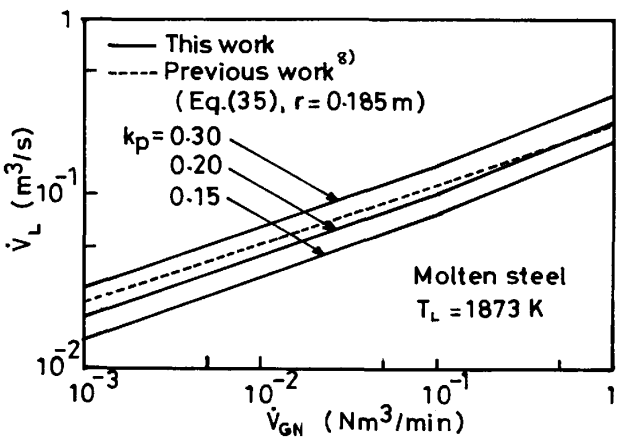


Fig.2 Relation between  $\dot{V}_L$  and  $\dot{V}_{GN}$

なお、Subramanian<sup>10)</sup>は、浴下部内径14cm、浴上部10cmはTable Lに示した内径の容器を用いた。Fig.3には、メタル側物質移動律速の条件で得られた物質移動係数 $k_M$ と $\dot{V}_G/d_c^2$ (D:拡散係数、 $d_c$ :容器直径)の関係を示した。図から明らかなように、若干の例外を除いて $k_M$ は $\dot{V}_G/d_c^2$ の関数として表される。Staples の浴深さ $H=5.7\text{cm}$ の場合の $k_M$ は2.5cmの場合の $k_M$ よりも大きいが、Subramanian<sup>10)</sup>の60, 66cmの場合の $k_M$ とはあまり差がない。また、Fig.3には1ズルせき3本の結果も含めているが、他の1ズルせき1本の結果によく一致している。

Staples の実験結果より、メタル側、スラグ側物質移動係数は次式により表される。

$$k^2 = BD\dot{V}_G/d_c^2 \quad (11)$$

ここで、Bは定数( $\text{cm}^{-1}$ )である。Robertson<sup>9)</sup>によると、Bはメタル浴深さによって異なり、浴深さが大きいときには $B \approx 120$ (メタル側),  $\approx 80$ (スラグ側), 浴深さが小さいときには $B \approx 80$ (メタル側),  $\approx 120$ (メタル側, 鉛-溶解炉系),  $\approx 40$ (スラグ側)である。

最近、実機についてスラグ-メタル間反応速度に対するガス吹き込み様子の影響<sup>11, 12)</sup>が調べられている。

それによると、反応速度は液相単位質量あたりの吹き込みガスの慣性動力をともに増加することが示されている。沢田ら<sup>11)</sup>によると、

$$k^2 \propto H^2 \dot{m}_m/d_c \propto H^2 \dot{V}_G/d_c^3 \quad (12)$$

物質移動係数 $k$ の浴深さ $H$ , 容器径 $d_c$ に対する依存性は(11)式と(12)式で異なり, 今後さらに検討する必要があると考えられる。なお、Subramanian<sup>10)</sup>とStaples<sup>9)</sup>の実験結果の比較からは、メタル浴深さが大きい場合に浴深さの影響をみられない。しかし、両者の一致はまだ以上で、Subramanian らの実験では気泡頻度が非常に少なく、液体の流動状態によって浴深さの影響<sup>9)</sup>をStaples の実験とは異なっていると考えられる。また、実機における高ガス流量の吹き込みで1ズルと複数1ズルを用いた場合、明らかに複数1ズルの方が反応速度が大きい。<sup>12)</sup>これは、液体中に吹き込みでガスや気泡群を形成する場合、液体の上昇流量は上述の解析より大略 $n^{2/3}$ (n:1ズル本数)に比例して大きくなることによる。一方、Staples の実験では1ズル本数の影響は全くみられない。この点に関しては理論的説明が困難であり、今後の検討がまちい。

## 文 獻

- 1) 森, 佐野: 鉄と鋼, 67(1981), p672, 2) L.H. Lehrer: IEC Process Des. Dev., 7(1968), p226, 3) 成田, 佐野, 松本, 小川: 鉄と鋼, 69(1983), p392, 4) O. Haida and J.K. Brimacombe: SCANINJECT III, (1984), 5:1, 5) F.P. Rixon and D.B. Spalding: J. Fluid Mechanics, 11(1961), p21, 6) W. Rodi: "Turbulent Buoyant Jets and Plumes", (1982), (Pergamon Press), 7) 佐野, 佐野, 森: 未発表, 8) 佐野, 森: 鉄と鋼, 68(1982), p2451, 9) D.G.C. Robertson and B.B. Staples: "Process Engineering of Pyrometallurgy" ed. by M.J. Jones, (1974), Inst. of Mining and Metallurgy, 10) K.N. Subramanian and F.D. Richardson: J. Iron Steel Inst., 206(1968), p576, 11) 沢田, 大橋, 橋岡: 鉄と鋼, 70(1984), S161, 12) 成田, 有馬, 高橋, 岩本, 坂根, 清城: 鉄と鋼, 70(1984), S125

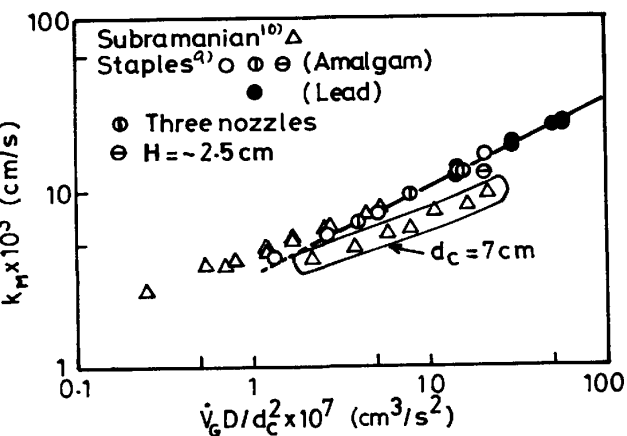


Fig.3 Relation between  $k_M$  and  $\dot{V}_G D/d_c^2$